

## 表面断熱処理によるトンネルのつらら防止工の延長幅効果

国鉄(前)鉄道技術研究所  
(現)構造物設計事務所 正員 田中勝也

## 1. まえがき

トンネルのつららは一晩で建築限界を侵すほどに成長することが多く、列車運転に重大な影響を及ぼす。また側氷はそれに加えて、線路巡回や作業員の歩行を困難にし、列車待避などに危険を与えると共に、レールを埋める氷は脱線事故にもつながるものである。

このようなつららと側氷は、従来初列車前に人力によってつらら落し作業や削氷作業を行いながら、列車運転を確保しており、厳寒期の未明におけるこれらの作業は関係者に課せられた肉体的精神的に最も厳しい作業の一つである。そこで従来の人力によるつらら落し作業に期待するのではなく、積極的なつらら防止工の開発が強く望まれてきた。

そのような背景のもとで、トンネル覆工内面を発泡断熱材で被覆し、地熱を冬期になるべく放出しないことによりトンネル覆工表面温度を氷点下に達しないように保温する、いわゆる表面断熱処理によるトンネルのつらら防止工法を開発し<sup>2)</sup>、試験施工時の温度実測とその非定常熱伝導解析によって当工法に必須な断熱材厚を既に提案した。<sup>1)</sup>しかし、十分な断熱材厚が確保された場合であっても、断熱材のトンネル軸方向の延長幅 $w$ が狭い場合、あるいはたとえ広くてもその端部附近では断熱材を施工していない所からの寒気の影響を受けて、断熱材背面でも氷点下になる可能性がある。じたばって断熱材の延長幅 $w$ にはある程度の余裕長 $L_n$ が必要になるわけである。当報告はこの余裕長 $L_n$ に関する実験的解析について述べたものである。

## 2. 供試トンネルとつらら防止工の概要

供試トンネルは北海道・羽幌線天塩炭一初山別間の延長270mの単線トンネルであり、覆工厚は中間部で45cmである。地質は新第三紀の増塊層であり、泥岩、砂岩あるいは雜色礫岩を含むものである。またつらら防止工としての断熱材はウレタン系発泡断熱材(独立発泡型)を使用し、羽幌地方の年平均気温 $t_m=7.1^{\circ}\text{C}$ 等を考慮してその厚さは $d_h=3.5\text{cm}$ と決定された。そして断熱材の延長幅 $w$ (図-1参照)を1, 2, 4と8mに設定し、それに対応して、トンネル内気温、断熱材、覆工と地山の温度、風速などを測定し、解析を進めた。

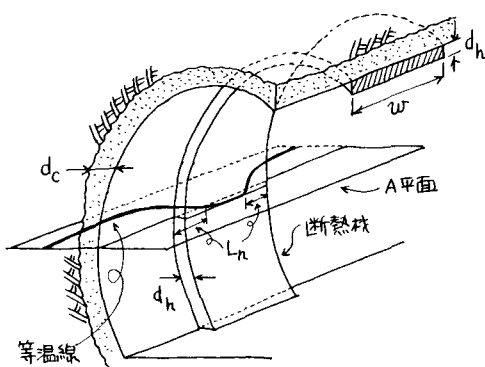


図-1 つらら防止工の概要

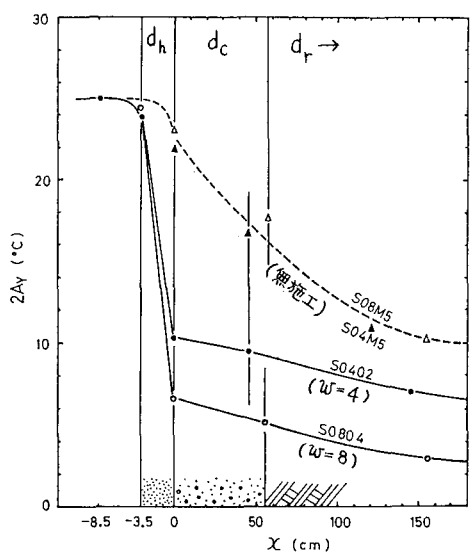


図-2 トンネル横断面の温度の年振幅

### 3. 解析結果

(1) トンネル横断方向の温度分布をその年振幅 $A_Y$ について描くと図-2のようになる。図は断熱材の延長幅が、 $W=4\text{m}$  と  $W=8\text{m}$  である場合の  $W$  の中央の位置における  $A_Y$  と、つらら防止工を施工していない所のそれを示したものである。トンネル内気温の  $2A_Y=25^\circ\text{C}$  に対し、断熱材背面では  $W=8\text{m}$  で  $2A_Y=6.6^\circ\text{C}$  になるが、 $W=4\text{m}$  では  $2A_Y=10.2^\circ\text{C}$  に増大する。さらに  $W$  が大きくなると  $W=0\text{m}$  の極限を考えると、それは無施工区(図の破線)の温度振幅に一致する。このように断熱材の延長幅  $W$  が及ぼす温度効果は、特に  $W$  の小さい所で著しいことがわかる。

(2) つらら防止工を含む2次元平面(図-1のA平面)に対する2次元温度分布を求め、厳寒期の  $0^\circ\text{C}$  の等温線を連ねれば A 平面の実線のようになる。たとえば 2 月における  $W=4\text{m}$  の場合、無施工区のそれは覆工背面以深の地山中にあるが、 $W$  の中心に向って  $0^\circ\text{C}$  の等温線は覆工に入り、やがて断熱材端より  $L_n=80\text{cm}$  の位置で断熱材背面に達する。それより中央側にあっては断熱材の中に等温線が存在することになり、そこでは断熱材背面の覆工表面温度は  $0^\circ\text{C}$  以上に保持され、有効な保溫幅 ( $W-2L_n=240\text{cm}$ ) となる。この  $0^\circ\text{C}$  の等温線が断熱材背面を切る位置と断熱材端の距離を余裕長  $L_n$  と称すことにする。

(3)  $L_n$  と  $W$  の関係を年平均気温  $t_m$  をパラメータにして求めると図-3 のようになる。図中破線は  $W/2=L_n$  に相当し、トンネル漏水が一ヶ所に限られる時の限界となる  $t_m$  を指示するもので、 $t_m$  が低くなければ必要な  $W$  が加速度的に大きくなっていくことを表わしている。一方  $t_m$  が高い場合にはある程度大きな  $W$  を持つ所では  $L_n$  は  $W$  にかかわらずほぼ一定の値を有することになる。

(4) 以上は断熱材厚  $d_h=3.5\text{cm}$  に対する初山別トンネルの実測値をもとに求めたものである。他の  $d_h$  に対

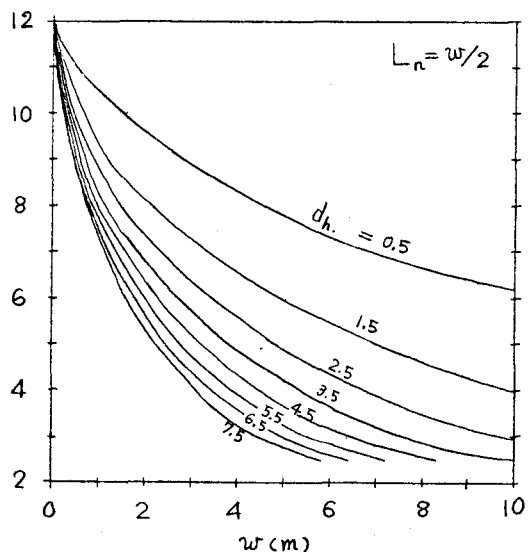


図-4  $W$  の中心における覆工表面温度が  $0^\circ\text{C}$  になる時の  $t_m$  と  $d_h$  の関係

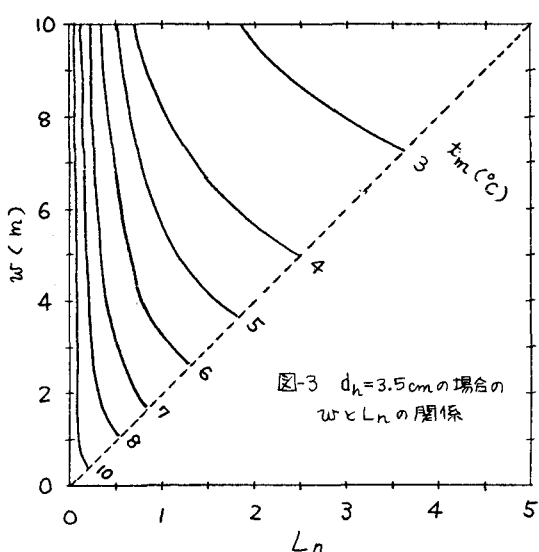


図-3  $d_h=3.5\text{cm}$  の場合の  $w$  と  $L_n$  の関係

する  $L_n$  の推定は、2次元定常熱伝導モデルの結果<sup>\*</sup>を適用することにする。すなわち、 $W/2=L_n$  に対して  $K(\theta_r)$  が  $t_m$  一定のとき定数とすれば、

$$W = 10 \cdot \{\log K(\theta_r) - \log d_h\} / 1.4$$

によって与えられるものと仮定した。その結果は図-4 のようになる。これは図-3の条件のもとに  $t_m$  と  $W$  の関係を  $d_h$  をパラメーターに描いたものであり、 $t_m$  が一定の時  $d_h$  が薄くなると  $W$  が急激に大きくなっていることを示している。

(\*  $\lambda_h=0.012, \lambda_c=1.0, \lambda_r=2.0 \text{ kcal}/\text{m}\cdot\text{h}\cdot\text{°C}, d_c=50\text{cm}, d_r=300\text{cm}$  の地温を  $\theta_r=5.0^\circ\text{C}$ 、トンネル流体温  $\theta_w=-5.0^\circ\text{C}$  (入は熱伝導率、係数  $K, C, R$  はそれぞれ断熱材、覆工、地山)等の仮定のもとに  $W=4, 8, 10\text{m}$  について図-1の A 平面の2次元定常熱伝導計算を行ったものである。

1) 第33回土木学会年次学術講演会概要集

2) 第31回、第32回土木学会年次学術講演会概要集